

地球物理勘探专辑

第 5 輯

电 法 勘 探

(交流电法)

傅 良 魁 譯

中国工业出版社

# 地球物理勘探专輯

第 5 輯

## 電法勘探

(交流電法)

傅良魁譯

中国工业出版社

本輯主要是將1956—1960年間國外(主要是蘇聯)一些公開期刊上的有關交流電法勘探的文章擇其參考價值較大者收集譯出。共有論文二十余篇，內容大致可分：電磁測深法、航空電測法、大地電流法等。可供地球物理工作者和有關院校物探專業師生參考。

地球物理勘探專輯  
第5輯  
電法勘探  
(交流電法)  
傅良魁譯

地质部地质书刊编辑部編輯 (北京西四羊市大街地質部院內)

中国工业出版社出版 (北京市崇文區崇文門外大街10號)

(北京市書刊出版事業局新出字第110號)

中国工业出版社第四印刷厂印刷

新华書店北京发行所發行·各地新华書店經售

开本787×1092<sup>1/25</sup>·印张11<sup>21/25</sup>·字数254,000

1962年1月北京第一版·1962年1月北京第一次印刷

印数0001—2,170·定价(10—8)1.65元

统一書号：15165.1072(地质-63)

四

- 感应法模型研究的几个結果 ..... (苏联) В. С. 斯維托夫 (175)
- 地壳的不均匀性对直綫式无限长导綫場的影响 ..... (苏联) В. И. 德米特里耶夫 (193)
- 在詳查電法勘探中頻率的研究 ..... (苏联) А. Г. 伊万諾夫 (198)
- 論電場的振幅和相位与椭圆极化磁要素的变化关系 ..... (苏联) О. М. 巴尔苏柯夫 (217)
- 在脉上計算交变磁場的近似公式 ..... (苏联) А. Г. 伊万諾夫 (222)
- 在均匀半空間中圓柱体上电磁場的畸变(苏联) В. Н. 吉雅柯諾夫 (231)
- 在勘查埋伏构造时綫圈(迴綫)法的应用 ..... (苏联) И. И. 克罗連柯 (247)
- 在多金屬矿床勘探中游散电流法的应用經驗 ..... (苏联) Р. М. 卡梅涅茨卡娅等 (277)
- 在地質填图中广播站无线电場強度的測量 ..... (苏联) В. К. 赫梅列夫斯基等 (282)
- 使用交变电流时岩石的电阻率 ..... (苏联) В. С. 爱宁什坦 (292)

## 电磁測深曲線的解釋方法

(苏联) B. C. 爱宁什坦

1. 在A. H. 吉洪諾夫指导下, 苏联科学院 (АН СССР) 大地物理研究所創立了以地質勘探为目的的电磁測深方法[1]。目前已經得到了一些要求进行地質解釋的試驗資料<sup>①</sup>。直到目前为止, 所計算的量板为数不多, 但可以用来对試驗研究結果作地質解釋。

在Д. Н. 沙哈苏瓦洛夫的論文中[2], 在电磁測深野外資料解釋方面曾作了第一次嘗試, 这种解释是以本文作者所得到的理論曲線为基础的。

电磁測深的野外研究和理論曲線的分析証实了从以供电偶极  $AB$  和接收偶极  $MN$  之間的不同距离  $r$  所进行的辐射測深过渡到只用一个极距进行工作的頻率測深的合理性[3]。在技术上和經濟上, 这种过渡的合理性是很明显的。

2. 頻率測深的試驗曲線可以用各种不同方法繪制成果图, 把它们繪制在沿横座标为对数比例尺的  $1/\sqrt{f}$  ( $f$ —以赫芝为单位的电流頻率), 而沿縱軸(也是对数比例尺)—电磁場相对应的(振幅的) 特殊座标系是合理的。例如, 对于根据電場分量 ( $E_x$ ) 幅值特征的測量結果所构成的曲線來說, 沿縱軸便为  $\rho_k$ —使用交流电时的視电阻率, 也是象用直流电一样, 是用公式

$$\tilde{\rho}_k = K \frac{4V}{I};$$

<sup>①</sup> Б. С. Эненштейн, Е. М. Ушаков и пр. по теме "Разработка методики зондирования на переменном токе и изучение разрешающей способности этого вида разведки" (Институт физики Земли АН СССР, 1956г.).

計算的。式中  $\tilde{AV}$ ——取自  $MN$  电极上的电位差的有效值;  $\tilde{I}$ —— $AB$  線路中电流强度的有效值;  $K$ ——按公式

$$K = \frac{2\pi r^3}{AB \cdot MN}.$$

計算的赤道装置的装置系数。

对于根据垂直磁感应分量 ( $B_2$ ) 幅值特征的测量結果所繪制的曲線來說，沿縱軸为  $0.1r^2 \tilde{B}_2 f$ 。

按公式

$$\tilde{B}_2 = K_n \cdot \frac{\tilde{AV}}{\tilde{I}} \cdot \frac{r^2}{ABf},$$

計算  $\tilde{B}_2$ 。式中  $\tilde{AV}$ ——取自接收綫圈的电位差的有效值;  $K$ ——按公式

$$K_n = \frac{10^7}{2\pi n S}$$

計算的綫圈系数。式中  $S$ ——綫框的平均面积;  $n$ ——圈数(我們使用 MKSQ 单位系統)。

3. 图 1 是  $r=8$  千米<sup>②</sup> 的頻率赤道电磁測深試驗曲線<sup>1</sup>。該測深工作是在具有以下地电断面特征的地段上进行的，在結晶岩上面埋藏着一組砂、頁岩层和白堊紀地层，厚度为 500—550 米，电阻率为 3—6 欧姆米。断面最上部为厚度約 100 米及电阻率为 60—100 欧姆米的砂、頁岩层系。我們发现地段的地电特征是以一般的地質根据及直流电的測

②以后我們对用不同分量和不同測量裝置所得到的使用交流电的測深曲線引入一种簡單的表示。例如： $\tilde{E}_x$  分量曲線就是当对規定距离  $r$  和不同的頻率时采用赤道裝置所得到的，我們将其表以  $\tilde{E}_x$  (ЧЭЭМЗ) (頻率赤道电磁測深  $\tilde{E}_x$  曲線)。根据其他分量 ( $\tilde{B}_2, \varphi_{Ex}, \varphi_{Bz}$  等等) 所得到的測深类型曲線也引入类似表示：如曲線  $\tilde{B}_2$  (ЧЭЭМЗ) 及其他等等。对于得自軸式裝置的場的各种分量的頻率曲線來說，便表以  $E_y$  (ЧОЭМЗ) 及其他等等。对于用一种頻率，但采用不同  $r$  值的赤道裝置所构成的分量。 $\tilde{E}_x, \tilde{B}_z$  等曲線，便表以  $\tilde{E}_x$  (ЭЭМЗ) 和其他等等。对于軸式裝置的曲線便以  $\tilde{E}_y$  (ОЭМЗ) 等等。因为在我們的文章中只討論曲線  $\tilde{E}_x$  (ЧЭЭМЗ) 和  $\tilde{B}_2$  (ЧЭЭМЗ)，所以我們就簡称其为  $\tilde{E}_x$  和  $\tilde{B}_2$ 。

深結果为大概的基础的。为了进行比較，在图 2 上画出了在同一測点上用直流电所得到的偶极測深曲綫 ( $\tilde{E}_x$ )。 $\tilde{E}_x$  曲綫的解釋原則以图

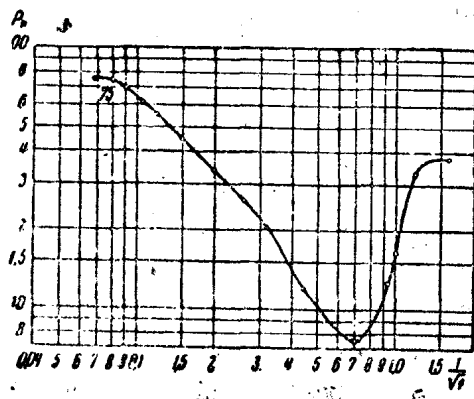


图 1

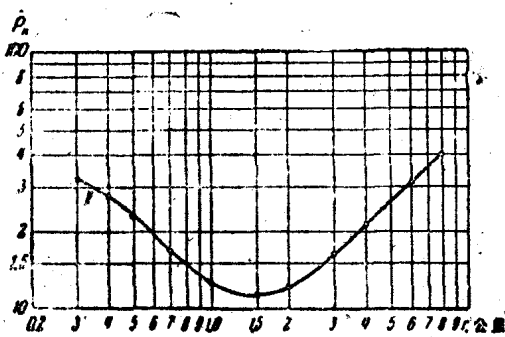


图 2

1 的測深曲綫为例來說明。为了进行解释，在  $\rho_2 = \infty$  情况下我們已有的  $\tilde{E}_x$  (ЧЭЭМЗ) 二层理論量板 (图 3)。

所引出的量板是基于輻射測深的相应的計算曲綫并且由文献 [2] 中所闡述的轉換法获得的。然而正由于这个原因，輻射測深的計算曲綫直到目前为止，数量是不多的，当构組頻率測深量板时，在必要的范围内是用外推法进行的。因此，引于图 3 上的曲綫不能以为是足够的和精确的；我們研究它的时候，应当認為将来可以逐漸精确。

4. 沿着量板的横軸为  $\lambda/r$ , 这里  $\lambda$ ——在上部层中的波长, 等于  $\sqrt{10\rho_1/f}$  (千米)。沿縱軸(也是用对数比例尺)为  $\rho_k/\rho_1$  ( $\rho$ ——以欧姆米为单位的上部岩层的电阻率)。量值  $r/h_1$  ( $h$ ——上部层的厚度) 为曲綫的参数。量板中包括了比值从 1.4 到 32 的十条曲綫。具有零值的曲綫相当于均匀半空间情况。由量板可看出, 当上部层为任意的厚度时(認為  $r$  是規定了的), 曲綫起始段均具有  $2\rho_1$  的数值, 这相应于在相对高的頻率时进行測量。随着頻率的降低( $\lambda/r$  增加), 曲綫表现出极小值, 然而沒有达到  $\rho_1$  值, 而后急剧地上升, 大約与横軸成  $70^\circ$  角。在低頻部分中曲綫有不大的极大值。在这个极大值以后, 当繼續降低頻率时,  $\rho_k$  值平緩地接近相当于用直流电时对規定  $r$  的  $\rho_k$  值。

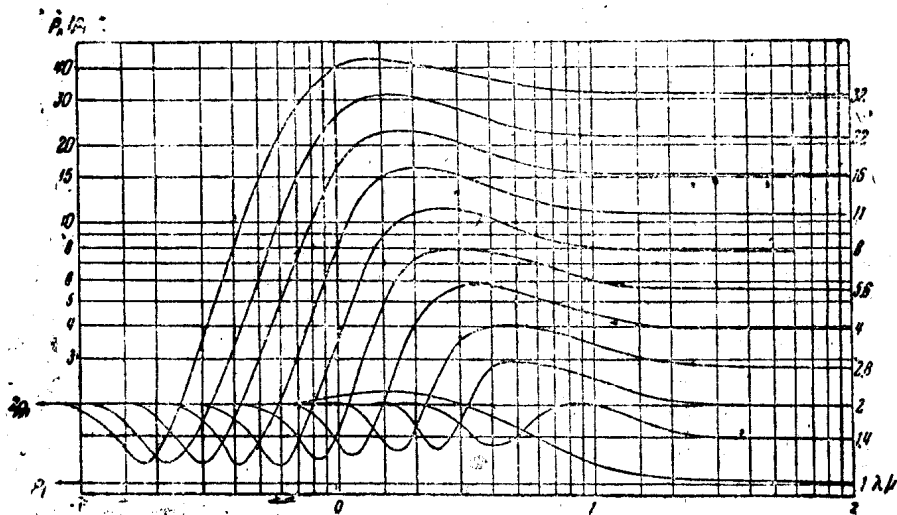


图 3

5. 首先我們來作定性的分析。对直流电曲綫而言, 根据曲綫的外形(图 2)可以看出, 它相当于基岩具有无限大电阻的三层地电断面。对交流电的曲綫而言, 在外形上(图 1)也相当于三层地电断面。事实上, 因为  $r$  的量值比起在地电断面中流出交流电的上部地层的厚度大好几倍, 所以曲綫的开始(水平的)部分, 即相当于頻率为 300 赫芝和 240 赫芝的一段。給出了該层的两倍电阻率值( $2\rho_1$ )。随着頻率

的降低，第二层开始起影响，因为第二层的电阻率( $\rho_2$ )比 $\rho_1$ 小很多，于是曲线就下降。例如频率从10赫芝开始，具有无限大(实际上)电阻的第三层便发生影响。曲线继续下降到最低的过程与理论曲线相吻合(图3)，但是倾斜角小了些。在频率为2赫芝时， $\tilde{E}_x$ 曲线有极小值。在极小值以后，第三层开始起主要作用，并且曲线转向上升。在给定条件下，对于接近直流电的频率(0.66和0.38赫芝)而言， $\tilde{E}_x$ 曲线的 $\rho_k$ 值便上升到右枝的水平渐近值，此值相当于对规定的电极距 $r$ 情况下使用直流电的 $\rho_k$ 值。

6. 现在我們来进行 $\tilde{E}_x$ 曲线的定量解释，目的是确定在测深点下部所有地层的厚度。我們这样来处理，即为了确定所有沉积层的厚度而对 $\rho_k$ 曲线(图2)作解释，仅仅用 $\rho_2 = \infty$ 情况下的直流电二层理论曲线的处置方法。

如果我們已經知道了沉积层的纵向电阻 $\rho_1$ ，那么，在ДЭЗ量板上沿着 $\rho_1$ 值移动理论曲线的水平轴直到两条曲线的右枝渐近重合为止，我們便找到了沉积层的厚度( $H$ )。在给定情况下，在以前本区所进行的研究基础上，已經知道 $\rho_1 = 4$ 欧姆。根据 $\rho_k$ 曲线(图2)求得 $S = 185$ ，再根据表示式  $H/\rho_1 = H/4 = 185$ ，我們便确定出沉积层系的厚度为  $H = 740$ 米。

7. 我們看出，当借助于量板(图3)时，利用了量值 $\rho_1 = 4$ 欧姆米便可根据 $\tilde{E}_x$ (图1)曲线确定出 $H$ 的量值。为此，我們使量板的水平轴与具有测深曲线的图纸上相当于4欧姆米的直线重合。我們来沿着水平轴移动量板，这时 $\tilde{E}_x$ 曲线的右枝将与量板上任一曲线的左枝相重合。然而为了实现正确的解释，必須使量板上  $\lambda/r = 1$  的点与 $\tilde{E}_x$ 试验曲线的这种点  $1/\sqrt{f}$  重合，当以表示式

$$\lambda/r = \frac{\sqrt{10\rho}}{\sqrt{f}} \cdot \frac{1}{r}$$

代换横坐标时，便由这个表示式求得重合点的 $\rho = 4$ 欧姆米。因为 $r = 8$ 千米，则由上列的 $\lambda/r$ 表示式求得  $1/\sqrt{f} = 1.26$ 。将量板的  $\lambda/r = 1$  的点与  $\tilde{E}_x$ 曲线的被找到的点重合，我們就看到  $\tilde{E}_x$ 曲线的右枝与具有记号  $r/H = 11$  的量板曲线的右枝相重合。因此，得到沉积层的厚度  $H$  等于

730米。由于缺乏必需的理論曲線，目前我們就不能够根据 $\tilde{E}_x$ 和 $\tilde{B}_z$ 曲線确定地电断面的参数以及在作电磁測深时研究等值原則的作用。应当相信，当借助于相应的理論曲線时，对 $\tilde{E}_x$ 和 $\tilde{B}_z$ 所有曲線的解释就会得到比起单用直流电測深法所获得的資料更多些的关于地电断面的輔助資料。

8. 作为例子，我們來討論在相同測深点上也是用 $r=8$ 千米所得到的 $\tilde{B}_z$ 曲線的解释方法，在这一点上曾經得到过 $\tilde{E}_x$ 曲線（图1）。 $\tilde{B}_z$ 曲線到于图4。为了对 $\tilde{B}_z$ 曲線作解释，我們利用列于图5的量板。沿着量板的横坐标为量值 $\lambda/r$ ，用的是对数比例尺，沿着縱軸（也是对数比例尺）为 $\tilde{B}_z r^2/\lambda^2$ 。在这里曲線的参数就是 $r/h_1$ 。具有零值的

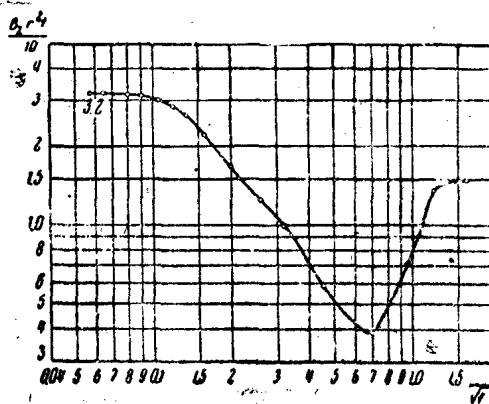


图 4

曲線仍然相当于均匀半空  
間情况。在这条曲線的下  
部分布着相当于 $\rho_2=0$ 情  
况下的二层曲線，而在这  
条曲線的上部則为 $\rho_2=\infty$   
的情况。由于所选择的比  
例尺的結果，所有曲線  
(当上部层为任何厚度时)  
都有等于 0.075 的左部漸  
近線。向右边，所有曲線  
都有一个共同的与橫軸大  
约成 70° 倾斜角的漸近線。

約成 70° 倾斜角的漸近線。当选定了 $r$ 值时（或 $r$ 越比 $h_1$ 大），上部  
岩层的厚度越小，所得到的曲線就更具有明显的特征，并且頻率越  
高，曲線就更明显地出現漸近線。

当采用相当高的頻率时，在 $\tilde{B}_z$ 的野外測量結果中可以确定上部岩  
层的 $\rho_1$ 。根据表示式 $\tilde{B}_z r^2 f \frac{1}{10\rho_1} = 0.075$ ，得到  $\rho_1 = \tilde{B}_z r^2 f 1.33$ 。

上述确定 $\rho_1$ 量值的方法可以扩展到更为复杂的地电結構上去。这  
时可以認為每个 $\tilde{B}_z$ 值均与按上述公式計算所确定的 $\rho_1$ 相对应。

9. 为了确定所有沉积层的厚度 $H$ ，在对 $\tilde{B}_z$ 的試驗曲線进行解釋

时，只根据它的右枝就够了。

$\tilde{B}_z$  曲线的解释原则与  $\tilde{E}$  曲线的解释原则是一致的。其特点在于必须根据选定的解释条件预先确定在直角坐标系中与  $\tilde{B}_z$  的试验曲线相对应的直线，它应该与量板的水平轴重合。根据对  $\tilde{B}_z$  的理论曲线和试验曲线的坐标系的对比，应当得到试验曲线的纵坐标较理论曲线的纵坐标大了量值  $\rho_1$  或  $\rho_2$ 。因此，为了对  $\rho_1 = 4$  欧姆米的情况作解释，必须选择量板的轴  $B_z r^2 / \lambda^2 = 0.075$  与在试验曲线图板上相应于量值  $0.075 \times 4 \times 0.3$  的直线相重合。

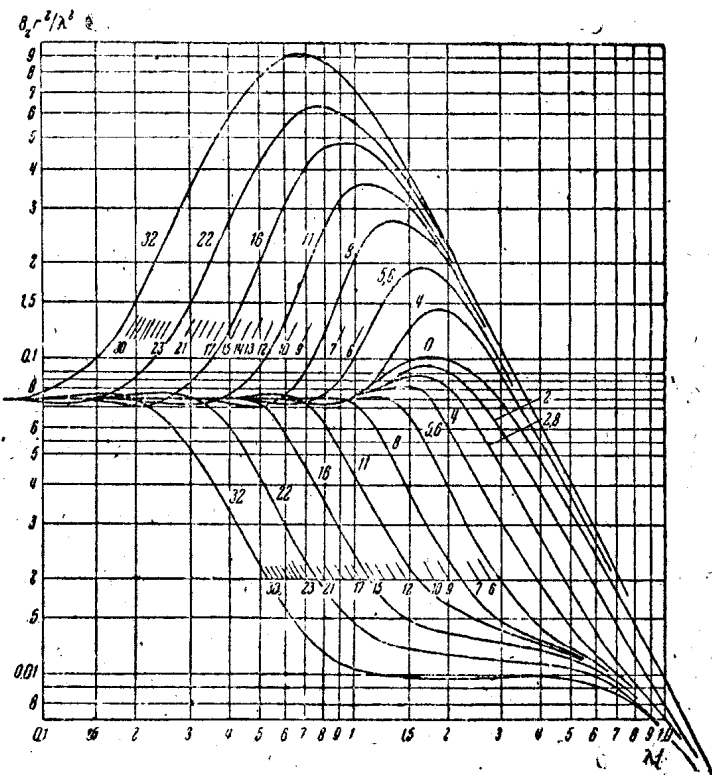


图 5.

我們进而使量板上  $\lambda/r=1$  的点与其横坐标等于 1.26 的  $\tilde{B}_z$  试验曲线的点相重合。这时  $\tilde{B}_z$  曲线的右枝与具有数值  $r/h=11$  的量板曲线的

右枝重合。因为  $\tilde{B}_z$  曲线是用  $r=8$  千米得到的，则象根据  $\tilde{E}_x$  曲线那样，我们由此得到量值  $H=730$  米。

10. 在频率测深及其解释的特征方面，必须作出以下的见解。曲线的左枝（高频的）反映断面上部的构造，曲线的右枝由更低的频率所确定，它所反映的地电断面与直流电相类似。频率的中间范围确定了曲线的中间部分，其中包括极小，这是与直流电有最明显区别的特点。如用直流电的测深（图 2）得到  $\rho_{极小}$  达到 11.5 欧姆米，这里根据频率测深所得到的  $\rho_{极小}$  只有 7 欧姆米（图 1）。

根据上面对  $\tilde{E}_x$  和  $\tilde{B}_z$  曲线所进行的分析可以作出以下结论：

(1) 用一组测量偶极 ( $AB$  和  $MN$ ) 间的极距  $r$  所进行的直流电的测深能够用仅采用一个极距所进行的频率测深代替；

(2) 仅仅运用频率测深  $\tilde{E}_x$  和  $\tilde{B}_z$  曲线的右枝，并且知道了  $\rho_1$  量值之后，象根据 ДЭЗ 曲线那样，就可以确定沉积岩层的总厚度。

### 参 考 文 献

1. Тихонов А. Н. и Шахсуваров Д. Н., Метод расчета электромагнитных полей, возбуждаемых переменным током в слоистых средах, Изв. АН СССР, сер. геофиз., № 3, 1956.
2. Шахсуваров Д. Н., Методика интерпретации результатов наблюдений электромагнитного поля при дипольном зондировании, Изв. АН СССР, сер. геофиз., № 5, 1956.
3. Краев А. Н. и Засепин В. Р., Принципы и аппаратура метода глубинного электромагнитного зондирования слоистой структуры массива, Геофизика, сб. 12, материалы ВОЕГЕИ, 1948.
4. Maller M., Eine Inductions-impulsmethode für den Nachweis des Erdöls, Geophysica pura e appl., 17, № 1—2, 1950.

本文译自 Известия АН СССР. Серия Геофизическая

1957. № 12.

# 水平层频率測深的几个理論問題

(苏联) II. II. 万尼安

## 緒論

在作者从前所发表的論文中曾研究了当断面中无絕緣层存在时頻率測深的理論，此頻率測深工作是在离場源足够远的觀測点上进行的〔3〕。

然而在苏联的許多区域上，电法勘探的对象是具有非常高电阻率的基岩。此外，在俄罗斯和西伯利亚的陆台沉积区上，广泛地分布着鹵性岩石，这种岩石实际上也是絕緣的。

考慮到严格計算的复杂性，我們現在来研究頻率測深的近似理論，此頻率測深是在十分远的距离  $r$  上进行的。在这里各分量場的表示就大为简化了。現在我們用  $h_1, h_2, h_3$  来表示岩层厚度，用  $\omega$  表示圆頻率，用  $\rho_1, \rho_2, \rho_3, \rho_4 (\rho_4 = \infty)$  表示电阻率，用  $k_1, k_2, k_3, k_4$  ( $k_n = \sqrt{\frac{-i\omega\mu_0}{\rho_n}}$ ) 表示波常数，并且令所有各层的导磁系数均等于真空中导磁系数 ( $\mu_0 = 4\pi \cdot 10^{-7}$  实用单位制)。对于上面半空間的儲量值我們用脚注 0 表示，忽略位移电流，我們令  $k_0 = k_4 = 0$ 。

我們首先来叙述所求解答的物理意义。

电磁能量可以用三种方法进入觀測点周围：

- (1) 以无衰減的交变电磁場形式經過上面的不导电的半空間；
- (2) 沿着导电层方向以  $e^{-kr}$  級次衰減，这里  $k$ ——这些岩层的某个平均的波常数；
- (3) 以无衰減的交变电磁場形式經過底下的导电半空間。

如果量值  $|kr|$  (或者  $|k_1 r|, |k_2 r|, |k_3 r|$ ) 足够大的話(比較高的頻率)，則沿着导电层传播的能量部分比起在空气中和在絕緣基底中传播着的电磁波所具有的能量消耗很少。至于后面这种电磁波，则在地

表面的有限地段上研究它的时候，就好象是平面波。于是可以写出入射角 $i_0$ 与折射角 $i_1$ 的比：

$$\frac{\sin i_1}{\sin i_0} = \frac{v_1}{v_0},$$

式中 $v_0$ ——电磁振盪在空气中的传播速度，而 $v_1$ ——在岩层中的传播速度。

已經知道[2]， $v_1 = \sqrt{10\rho_1 f}$  千米/秒， $v_0 = 3 \cdot 10^5$  千米/秒。因此当 $i_0$ 为任意值， $\rho_1 = 10^3$  欧姆米和 $f = 10^3$  赫芝时， $i_1 < 0.6^\circ$ 。因此，远离場源时，电磁波在有限地区上向地中穿透时是以具有垂直綫束的平面电磁波的形式进行的。

正象B.A.佛克所指出的那样[10]，对于均匀地壳的情况來說，当 $|kr| \rightarrow \infty$  时，在地面上有

$$E_z = -\frac{I\rho_1}{2\pi r^3} (3 \cos^2 \theta - 2), \quad (1)$$

$$B_z = -\frac{3I\rho_1 \sin \theta}{2\pi r^4 i\omega}, \quad (2)$$

式中 $I$ ——供电偶极矩， $\theta$ ——偶极矩与辐射向量 $r$ 間的夹角。

相反，如果頻率选得十分低，则在岩层中的衰减是很小的，并且电流密度从地表面到絕緣基底的頂板实际上沒有减小。

在这种情况下，当比值  $\frac{h_1 + h_2 + h_3}{r}$  充分小时，所有的电流綫都平行于地表面，即断面的导电部分与具有縱向电导  $S = h_1/\rho_1 + h_2/\rho_2 + h_3/\rho_3$  的范围是等值的。

于是，当使用高頻率和低頻率时，場的物理性質實質上是不同的。因此下面來討論两个漸近的解答：

(1) 当  $|k_1| \rightarrow \infty, |k_2| \rightarrow \infty, |k_3| \rightarrow \infty$  时，

$$h_1 \rightarrow 0, h_2 \rightarrow 0, h_3 \rightarrow 0;$$

(2) 当  $|k_1 h_1| \rightarrow 0, |k_2 h_2| \rightarrow 0, |k_3 h_3| \rightarrow 0$  时，

$$h_1 \rightarrow 0, h_2 \rightarrow 0, h_3 \rightarrow 0.$$

(3)

在多层断面情况下，为了分析积分解答，预先引出向量位的分量是方便的。

### 向量位分量方程的积分解答

#### 方程式，边界条件与激发条件

现在我们来研究具有电矩为  $Ie^{-i\omega t}$  的准稳定水平电偶极的场。电偶极分布在圆柱坐标系  $r, \varphi, z$  的极轴  $x$  上， $z$  轴方向指向下。以后我们放过乘数  $e^{-i\omega t}$  不讨论。

通常用具有分量为  $A_x$  和  $A_z$  的向量位  $\vec{A}$  来描写场 [2, 9, 11]。在岩层中准稳定电场和准稳定磁场带有  $p$  号，并用实用单位制的向量位表示如下：

$$\vec{E}_p = i\omega \vec{A}_p + \frac{\rho_p}{\mu_0} \operatorname{grad} \operatorname{div} \vec{A}_p,$$

$$\vec{B}_p = \operatorname{rot} \vec{A}_p \quad (p=0, 1, 2, 3, 4).$$

现在我们来研究水平场分量  $E_x$  和垂直磁感应分量  $B_{z_p}$ 。

$$E_x = i\omega A_{x,p} + \frac{\rho_p}{\mu_0} - \frac{\partial}{\partial x} \left( \frac{\partial A_{x,p}}{\partial x} + \frac{\partial A_{z,p}}{\partial z} \right), \quad (4)$$

$$B_{z,p} = - \frac{\partial A_{x,p}}{\partial y} \quad (p=0, 1, 2, 3, 4). \quad (5)$$

在每层中的向量位分量满足方程式

$$\nabla^2 A_{x,p} = k_p^2 A_{x,p}, \quad (6)$$

$$\nabla^2 A_{z,p} = k_p^2 A_{z,p}, \quad (p=0, 1, 2, 3, 4) [2]. \quad (7)$$

当在岩层间存在着具有各种  $\rho_p$  的水平分界面时，根据电磁场切向分量连续性的要求，导出连续量值的已知条件

$$A_x, A_z, \frac{\partial A_x}{\partial z} \text{ 和 } \rho \operatorname{div} A = \rho \left( \frac{\partial A_x}{\partial x} + \frac{\partial A_z}{\partial z} \right).$$

对全部边界计算了这些条件后，我们便得到：

(1) 当  $z=0$  时, 因为  $\rho_0=\infty$ , 则

$$A_{x_0}=A_{x_1}, \quad A_{z_0}=A_{z_1},$$

$$\frac{\partial A_{x_0}}{\partial z}=\frac{\partial A_{x_1}}{\partial z}, \quad \frac{\partial A_{x_0}}{\partial x}+\frac{\partial A_{z_0}}{\partial z}=0,$$

(2) 当  $z=h_1$  时,

$$A_{x_1}=A_{x_2}, \quad A_{z_1}=A_{z_2},$$

$$\frac{\partial A_{x_1}}{\partial z}=\frac{\partial A_{x_0}}{\partial z}, \quad \rho_1 \frac{\partial A_{z_1}}{\partial z}-\rho_2 \frac{\partial A_{z_2}}{\partial z}=(\rho_2-\rho_1) \frac{\partial A_{x_1}}{\partial x}; \quad (8)$$

(3) 当  $z=h_1+h_2$  时,

$$A_{x_2}=A_{x_3}, \quad A_{z_2}=A_{z_3},$$

$$\frac{\partial A_{x_2}}{\partial z}=\frac{\partial A_{x_3}}{\partial z}, \quad \rho_2 \frac{\partial A_{z_2}}{\partial z}-\rho_3 \frac{\partial A_{z_3}}{\partial z}=(\rho_3-\rho_2) \frac{\partial A_{x_2}}{\partial x};$$

(4) 当  $z=h_1+h_2+h_3$  时, 因为  $\rho_4=\infty$ , 则

$$A_{x_3}=A_{x_4}, \quad A_{z_3}=A_{z_4},$$

$$\frac{\partial A_{x_3}}{\partial z}=\frac{\partial A_{x_4}}{\partial z}, \quad \frac{\partial A_{x_3}}{\partial x}+\frac{\partial A_{z_3}}{\partial z}=0,$$

当无限接近场源时向量位应当趋于分布均匀介质中的电偶极的向量位, 即应该满足恒等式

$$A_z=0,$$

$$A_x=\frac{I\mu_0}{4\pi} \cdot \frac{e^{-k_1\sqrt{r^2+z^2}}}{\sqrt{r^2+z^2}}. \quad (9)$$

运用佐密尔费立德 (Зоммерфельд) 积分可将上面的表示式写出以下形式

$$A_x=\frac{I\mu_0}{4\pi} \int_0^\infty \frac{m}{\sqrt{m^2+k_1^2}} e^{-\sqrt{m^2+k_1^2}|z|} J_0(mr) dm.$$

最后, 当  $r \rightarrow \infty$  或当  $z \rightarrow \infty$  时,

$$A_x \rightarrow 0, \quad A_z \rightarrow 0. \quad (10)$$